

DOI: 10.15255/KUI.2017.009

KUI-9/2018

Pregledni rad

Prispjelo 14. ožujka 2017.

Prihvaćeno 8. svibnja 2017.

# Reakcije oksazola i njihovih derivata u pobuđenom stanju. II. dio: Fotoinducirane inter- i intramolekulske cikloadicije

I. Šagud\* i M. Šindler-Kulyk

Zavod za organsku kemiju, Fakultet kemijskog inženjerstva i tehnologije, Sveučilište u Zagrebu, Marulićev trg 20, 10 000 Zagreb, Hrvatska

Ovo djelo je dano na korištenje pod  
Creative Commons Attribution 4.0  
International License

## Sažetak

Oksazolski prsten kao strukturalna jedinica u nekom većem sustavu znatno utječe na reakcije u osnovnom i pobuđenom stanju. Reakcijama ciklizacije, cikloadicije i izomerizacije u pobuđenom stanju nastaju nove složene policikličke strukture zanimljive za daljnja biološka istraživanja. Od posebnog interesa su 2,5- i 2,4-disupstituirane kao i 2,4,5-trisupstituirane oksazolske strukture u kojima se kao jedan od supstituenata pojavljuje konjugirani vinil-stirilni sustav. U ovom radu dan je detaljan literaturni pregled inter- i intramolekulske reakcije oksazolskih derivata u pobuđenom stanju.

## Ključne riječi

Oksazol, fotokemija, heterocikli, intermolekulska cikloadicija, intramolekulska cikloadicija, elektrociklizacija

## 1. Uvod

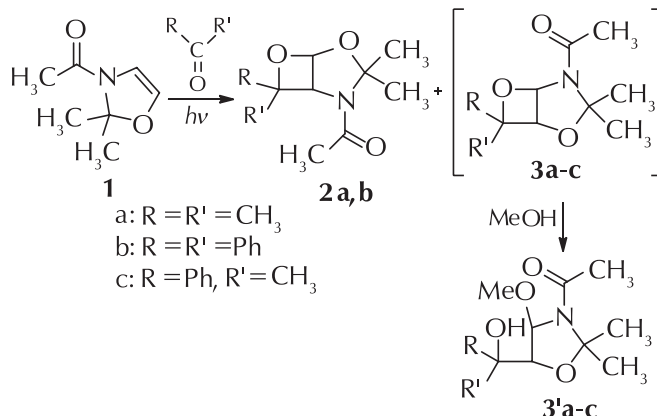
Kao što je opisano u prvom dijelu ovog pregleda,\*\* oksazoli, kao peteročlani heterocikli s dva heteroatoma u prstenu, u pobuđenom stanju skloni su transformacijama prstena, to jest reakcijama fototranspozicije i izomerizacije te nastanju produkata cijepanjem veza u prstenu. Međutim, ako se oksazolski derivati osvjetljavaju u prisutnosti alkenskih ili karbonilnih spojeva, dolazi do intermolekulske cikloadicije. Ukoliko je oksazolski prsten ugrađen u veći sustav u kojem postoje i drugi kromofori, mijenja se raspodjela energije u pobuđenom stanju i njihova reaktivnost, te dolazi do intramolekulske reakcije ciklizacije i cikloadicije. Takve reakcije daju pristup novim složenim policikličkim strukturama čiji se opis daje dalje u pregledu.

## 2. Fotoinducirane intermolekulske cikloadicije oksazolskih derivata

Najpoznatije reakcije cikloadicije su svakako termičke [4+2] cikloadicije (Diels-Alder). Jedna od prvih značajnih sinteza na bazi cikloadicije u kojoj sudjeluje oksazolska jezgra je Firestonova sinteza vitamina B<sub>6</sub>.<sup>1</sup> Fotoinducirane cikloadicije su važne jer pružaju učinkovit put za konstrukciju složenih policikličkih spojeva do kojih je vrlo zahtjevno, a ponekad i nemoguće doći reakcijama u osnovnom stanju. Od fotoinduciranih intermolekulskih cikloadicija koje uključuju oksazole opisane su [2+2] i [4+4] cikloadicije.

## 2.1. Fotoinducirane [2+2] cikloadicije oksazolskih derivata

Reakcija fotoinducirane [2+2] cikloadicije između dvostrukih veza dvaju alkena daje ciklobutane. Paternò-Büchi reakcija (PBR) je reakcija između dvostrukih veza karbonila (C=O) i alkena (C=C) koja daje oksetane. Grupe Scharfa<sup>2,3</sup> i Sekretara<sup>4</sup> proučavale su 2(3H)-oksazolone i 2,3-dihidrooksazole kao alkenske komponente u photocikloadiciji s ketonima i α-keto-karboksilatima. Scharf i sur.<sup>2</sup> su opisali reakciju cikloadicije 3-acetyl-2,3-dihidro-2,2-dimetiloksazola s različito supstituiranim karbonilnim spojevima (shema 1).



Shema 1 – [2+2] cikloadicija **1** s acetonom, benzofenonom i acetofenonom

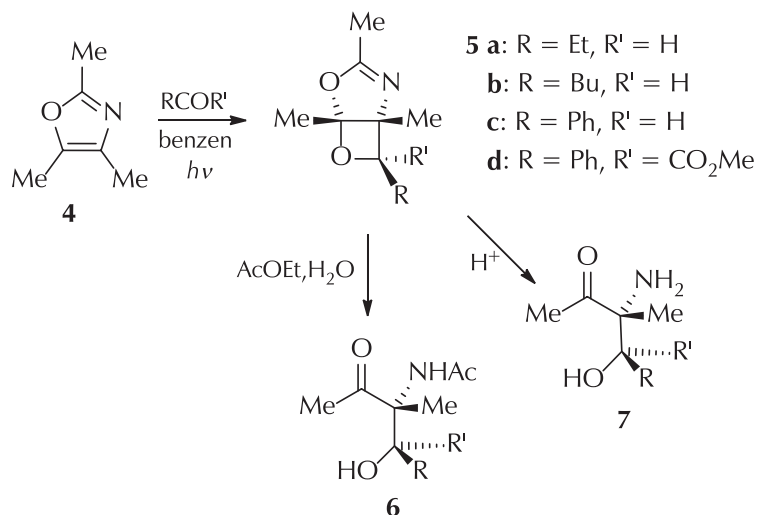
Scheme 1 – [2+2] cycloaddition of **1** with acetone, benzophenone and acetophenone

Spoj **1** reagira s acetonom i benzofenonom dajući dva regioizomera **2a**, **b** i **3a**, **b** u omjeru 2 : 7, odnosno 2 : 5. U

\* Autor za dopisivanje: dr. sc. Ivana Šagud

e-pošta: [isagud@fkit.hr](mailto:isagud@fkit.hr)

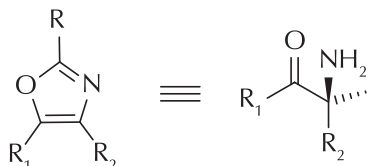
\*\* I. Šagud, M. Šindler-Kulyk, Reakcije oksazola i njihovih derivata u pobuđenom stanju. I. dio: Fototranspozicije u prstenu, Kem. Ind. 67 (1-2) (2017) 39-48, doi: <https://doi.org/10.15255/KUI.2017.008>. (preceeding paper)



Shema 2 – Sinteza *eritro*-β-aminoalkohola  
Scheme 2 – Synthesis of *erythro*-β-amino alcohols

reakciji s acetofenonom nastaje samo spoj **3c**. Regioizomeri **3a-c** nisu izolirani već su izolirani njihovi derivati s otvorenim oksetanskim prstenom **3'a-c** (shema 1).

Slična istraživanja na oksazolskim derivatima nastavlja Griesbeck *i sur.*<sup>5</sup> Autori su došli do zaključka da se oksazol može promatrati kao zamaskirani α-amino-keton ili α-amino-aldehid (slika 1).

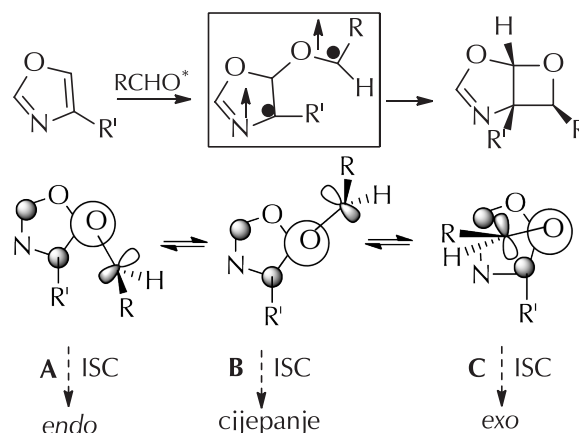


Slika 1 – Oksazol kao zamaskirani  $\alpha$ -amino-keton/aldehid  
Fig. 1 – Oxazole as masked  $\alpha$ -amino-ketone/aldehyde

Analogno photocikloadiciji furana s karbonilnim spojevima (foto-aldolni proces)<sup>6</sup> adicija oksazola i karbonila trebala bi dati maskirane  $\alpha$ -amino- $\beta$ -hidroksi karbonilne spojeve. Opisano je osvjetljavanje 2,4,5-trimetilosazola (**4**) s različitim alifatskim i aromatskim aldehidima. U svim slučajevima samo je regioizomer **5a-d** izoliran s visokom exo-dijastereoselektivnošću i gotovo kvantitativnim prinosom (shema 2).

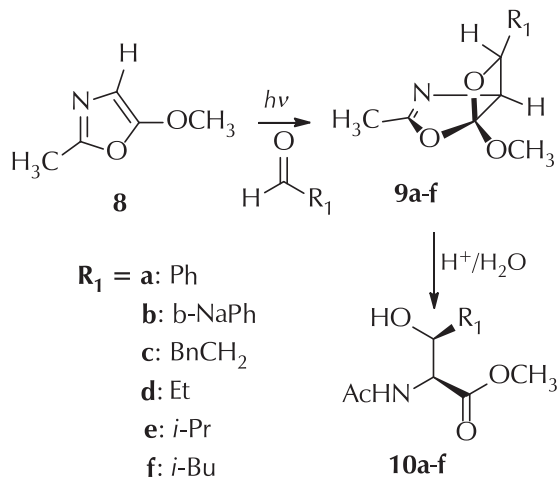
Takva regio- i stereoselektivnost oksazolskih derivata u skladu je s photocikloadicijom furana i karbonila, ali ne i s ponašanjem oksazola u reakcijama kojima su se bavili Se-kretar<sup>4</sup> i Scharf.<sup>2,3</sup> Dobiveni biciklički oksetani su termički i hidrolitički nestabilni i do otvaranja prstena dolazi već kromatografiranjem na silikagelu ili stajanjem par dana na sobnoj temperaturi u vlažnim otapalima. Oksetane je lako

prevesti u β-amino alkohole reakcijom s trifluorostenom ili octenom kiselinom. Tako je photocikloadicija oksazola s karbonilom iz aldehida ili keto-estera dobar način za regio- i dijastereoselektivnu sintezu *eritro*-β-aminoalkohola (**6, 7**). Nastajanje oksetanskih produkata u reakciji Paternò-Büchi s trimetilosazolom može se protumačiti mehanizmom u kojem se mora obratiti pažnja na dva faktora. Prvi faktor je geometrija međusustavnog križanja (ISC) koja ovisi o postojanju spin-orbitalnog sprezanja. Drugi faktor je učinak metilne skupine, koji su autori otkrili kod cikličkih monoalkena, gdje metilna skupina kao supstituent na cikloalkenu smanjuje količinu *endo*-produkta u smjesi u usporedbi s nesupsustituiranim cikloalkenom. Tri projekcije 1,4-biradikala na shemi 3 prikazuju tri reaktivne konformacije (**A-C**), koje vode u formiranje *endo*- i *exo*-produkata ili produkta cijepanja.



Shema 3 – Geometrije 1,4-biradikala u oksazolu kod photocikloadicije iz tripletnog stanja  
Scheme 3 – 1,4-Biradical geometries in oxazole in photocycloaddition from triplet state

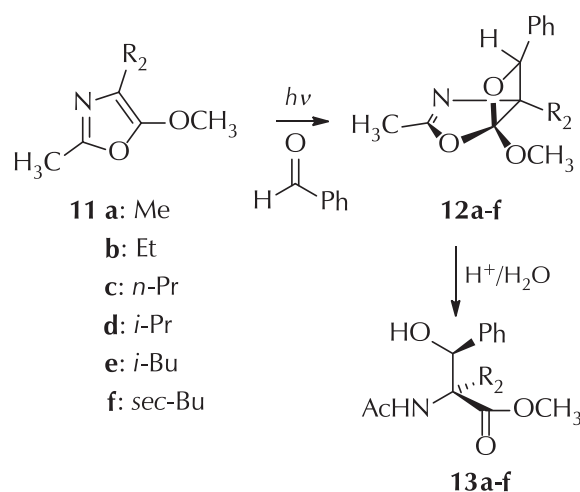
Aldehidi pokazuju sklonost stvaranju veze preko strukture C, pa tako daju exo-oksetane s visokom stereoselektivnošću u PBR. Kod reakcije nesupstituiranih furana i ketoestera ( $R = \text{alkil, aril}; R' = \text{CO}_2\text{R}''$ ) preferirani put je A, te oni u cikloadicijama daju endo-dijastereomerne. Ako postoji supstitucija na oksazolu u položaju 4 ( $R'$ ), onda dodatne steričke smetnje pogoduju stvaranju dijastereomerne smješe, a primjer je adicija metilfenil-glioksilata na trimetilosazol koja daje 3 : 1 exo/endo smjesu produkata. Autori se u nastavku istraživanja bave ovakvim fotoinduciranim aldolnim reakcijama u svrhu dobivanja  $\alpha$ -amino- $\beta$ -hidroksi karboksilnih kiselina. U slučaju reakcije 2-metil-5-metoksioksazola (**8**),<sup>7,8</sup> nesupstituiranog u položaju 4, kao diena s aldehidima detektiran je jedan regioizomerni oksetanski produkt **9a-f** u reakcijskoj smjesi (shema 4).



Shema 4 – Fotoinducirana adicija oksazola **8** s aldehidima  
Scheme 4 – Photoinduced addition of oxazole **8** with aldehydes

Primarni fotoprodukti hidrolitički su nestabilni i podliježe otvaranju prstena pri čemu nastaju  $\beta$ -hidroksi-esteri aminokiselina **10a-f**. Autori su svoje istraživanje proširili i na reakcije oksazola supstituiranih u položaju 4 (**11a-f**) s ben-

zaldehidom. Primarni fotoadukti **12a-f** nastaju s visokom dijastereoselektivnošću u svim slučajevima, osim kada su supstituenti u položaju 4 velike skupine (**8d-f**, shema 5). U slučaju kada je supstituent velika skupina, doprinos konfiguracije A (shema 3) koja vodi u endo-produkte postaje veći. Kromatografiranjem većina produkata **12a-f** hidrolizira u (*S,S*)- $\alpha$ -acilamino- $\beta$ -hidroksi-estere karboksilne kiseline **13a-f**.

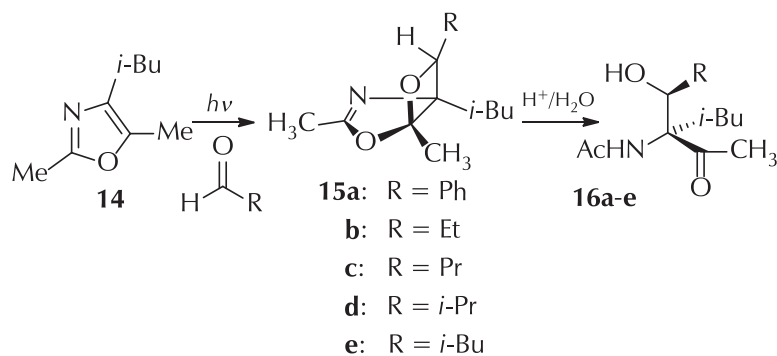


Shema 5 – Fotoinducirana adicija oksazola **11a-f** s benzaldehidom

Scheme 5 – Photoinduced addition of oxazoles **11a-f** and benzaldehyde

Autori su u kasnijem radu<sup>9</sup> objavili reakcije photocikloadicije na 2,5-dimetil-4-izobutiloksazolu (**14**) u svrhu dobivanja  $\alpha$ -amino- $\beta$ -hidroksiketona **15a-e** (shema 6). U PBR nastaju samo exo-oksetani **15a-e** koji lako hidroliziraju u eritro- $\alpha$ -amino- $\beta$ -hidroksiketone **16a-e**.

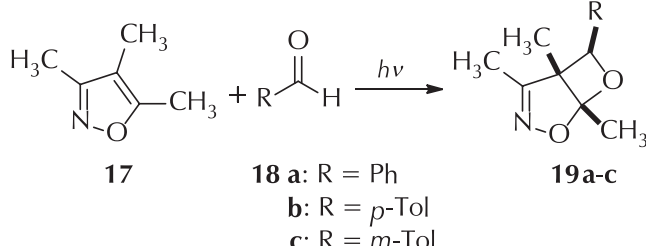
U novije vrijeme autorи су u istraživanje uključili derivate izoksazola<sup>10</sup> te ih podvrgnuli reakcijama photocikloadicije s alifatskim i aromatskim aldehidima. Došli su do zaključka



Shema 6 – Paternò-Büchi reakcija oksazola **14** s alifatskim i aromatskim aldehidima

Scheme 6 – Paternò-Büchi reaction of oxazole **14** with aliphatic and aromatic aldehydes

da je ta cikloadicija znatno manje učinkovita nego što je to bio slučaj kod oksazola te ostalih heterocikla kojima se bave. Samo kombinacija metiliranih izoksazola i aromatskih aldehida daje adukte koji su dovoljno termički stabilni (shema 7).



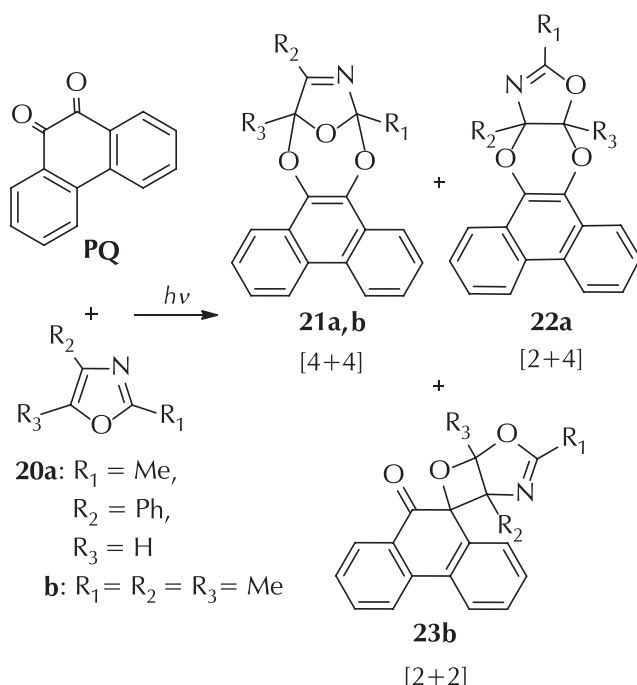
Shema 7 – Fotocikloadicija izoksazola **17** s aromatskim aldehydima

Scheme 7 – Photocycloaddition of isoxazole **17** with aromatic aldehydes

## 2.2. Fotoinducirane [4+4] cikloadicije oksazolskih derivata

Dok su [2+2] fotoinducirane cikloadicije uobičajene, one višeg reda su manje poznate. Fotoinducirane [4+4] cikloadicije<sup>11</sup> uglavnom su otkrivenе kod fotodimerizacije nafatalena,<sup>12</sup> antracena,<sup>13</sup> 2-piridona,<sup>14</sup> 2-pirona<sup>15</sup> te kod njihovih photocikloadicija s dienima.<sup>16,17</sup> Te cikloadicije događaju se između dva diena i daju osmeročlane karbocikličke spojeve.<sup>18,19</sup> Ciklički i aciklički  $\alpha$ -dikarbonilni spojevi reagiraju s alkenima [2+2] i [4+4] photocikloadicijama.<sup>20</sup>

Xu i sur.<sup>21-23</sup> objavili su [4+4] cikloadiciju koja uključuje azadiene. Radi se o adiciji *o*-kinona (1-acetilsatina (**IS**)) i fenantrenkinona (**PQ**) s oksazolima (shema 8 i 9). Dolazi do

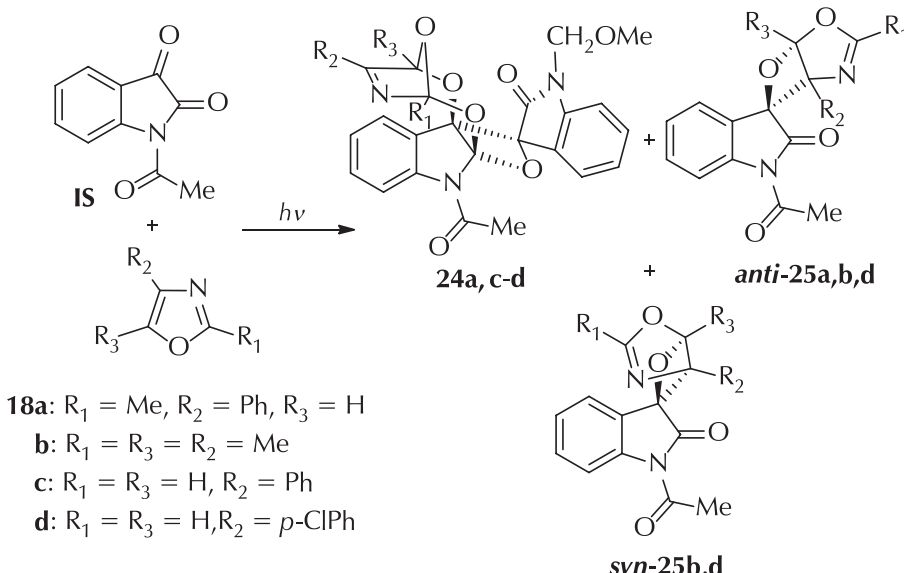


Shema 8 – Fotocikloadicije fenantrenkinona (**PQ**) s oksazolima **20a** i **b**

Scheme 8 – Photocycloaddition of phenanthrenequinone (**PQ**) with **20a** and **b** oxazoles

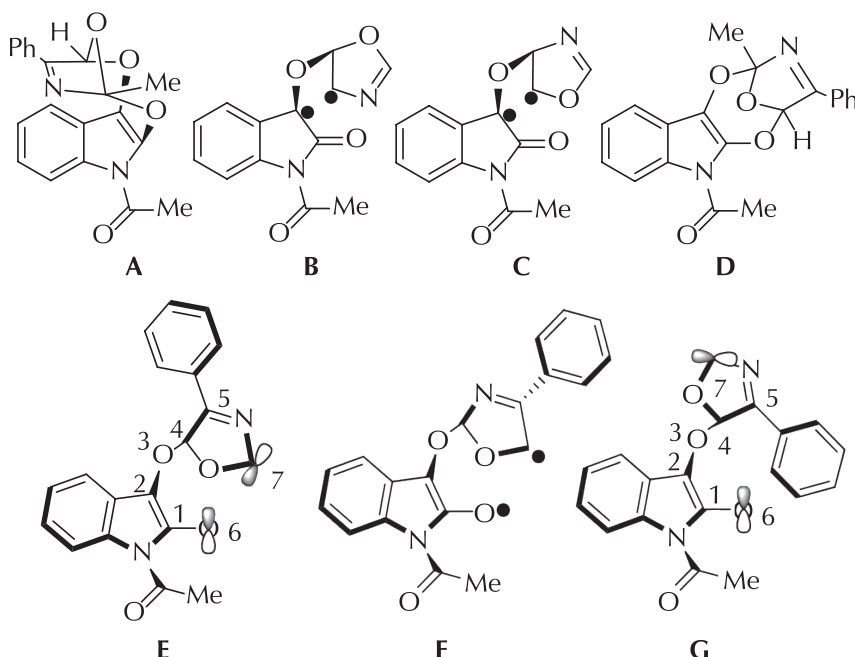
adicije  $\alpha$ -dikarbonilnog dijela iz *o*-kinona ( $\text{O}=\text{C}-\text{C}=\text{O}$ ) i 2-azadienskog dijela iz oksazola ( $\text{C}=\text{N}-\text{C}=\text{C}$ ).

Osvjetljavanje fenantrenkinona (**PQ**) s 2-metil-4-feniloksazolom **20a** daje smjesu produkata [4+4] cikloadicije (**21a**) i [2+4] cikloadicije (**22a**). Reakcija 2,4,5-trimetilosazola **20b** s fenantrenkinonom daje produkte [4+4] cikloadicije (**21b**) i [2+2] cikloadicije (**23b**) (shema 8). Fotoindu-



Shema 9 – Fotokemijska reakcija 1-acetilsatina (**IS**) s oksazolima (**18a-d**)

Scheme 9 – Photochemical reaction of 1-acetyl satin (**IS**) with oxazoles (**18a-d**)



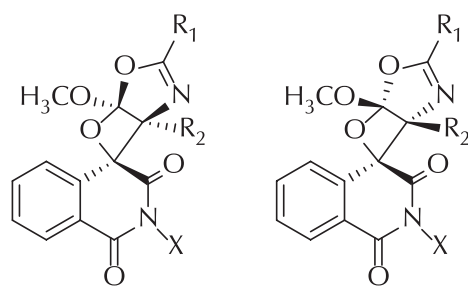
Slika 2 – Reaktivni međuproducti  
Fig. 2 – Reactive intermediates

ciranom reakcijom 1-acetilsatina (**IS**) s oksazolom **18a** u benzenu nastaju spojevi **24** i **25**. Spoj **24a** nastaje [4+4] i [2+2] cikloadicijama a produkt **25a** nastaje [2+2] cikloadicijom (shema 9). Reakcija **IS** s **18c** daje samo produkt **24c**. Reakcija **18b** daje dijastereomerne oksetanske produkte *anti*-**25b** i *syn*-**25b**.

[2+2] photocikloadicije **PQ** i **IS** s oksazolom su regiospecifične, a svi oksetanski produkti imaju strukture acetala. Rezultati mogu biti pojašnjeni mehanizmom preko stabilnog 1,4-biradikalinskog međuprodukata u Paternò-Büchi photocikloadiciji, koji je u ovom slučaju **B**, a ne **C** (slika 2).

[4+4] photocikloadicije **IS** s oksazolima su visoko regio- i stereoselektivne te daju kao primarni produkt **A** bez njegova regioizomera **D** a ozakolski prsten nalazi se u *syn*- položaju s obzirom na 1-acetilsatinski kostur. Da bi objasnili regio- i stereoselektivnost, autori su izračunali standardne entalpije nastajanja svih mogućih biradikalinskih međuprodukata pomoću DFT-računa na razini teorije UB3LPY/6-31G\*. U **E** i **G** **IS** kostur i oksazolski prsten su gotovo okomiti jedan na drugoga, pa su tako p-orbitale na dva radikalска centra O(6) i C(7) gotovo okomite jedna na drugu, što je vrlo pogodno za brzo međusustavno križanje (ISC). Nakon ISC-a u **G** slijedi cijepanje veze C–O, pri čemu se biradikal zbog velike udaljenosti između radikala vraća u reaktante (**IS** i oksazol). Za razliku od toga nakon ISC-a u **E**, kod kojega postoji mala udaljenost između radikala, slijedi rotacija p-orbitale prema unutra na atomu C(7), što

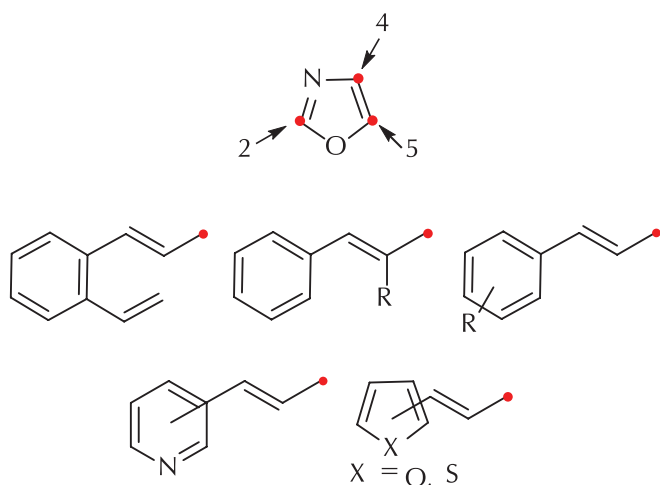
rezultira stvaranjem veze i nastankom [4+4] adukta **A**. Taj adukt ima eksperimentalno potvrđenu *sin*-konfiguraciju. Rotacija p-orbitale na atomu C(7) potpomognuta je sekundarnom interakcijom između orbitale fenila na C(5) te p sustava u **IS**. U toj konformaciji biradikal **E** stabilniji je od regioizomernog 1,6-diradikala **F**. Autori su detaljno opisali novi tip [4+4] cikloadicije između dva heterodiena te dali objašnjenje za visoku regio- i stereoselektivnost. Istraživanje nastavljuju na takvim adicijama i u kasnjem radu,<sup>23</sup> gdje opisuju i putove adicije izokinolin-1,3,4-triona na oksazole. U slučaju izokinolin-1,3,4-triona dolazi samo do [2+2]-photocikloadicije na supstituirane oksazole i formiranja policikličkih spirooksetanskih struktura (slika 3).



Slika 3 – Spirooksetanski produkti  
Fig. 3 – Spirooxetane products

### 3. Fotoinducirane intramolekulske ciklizacije i cikloadicije oksazolskih derivata

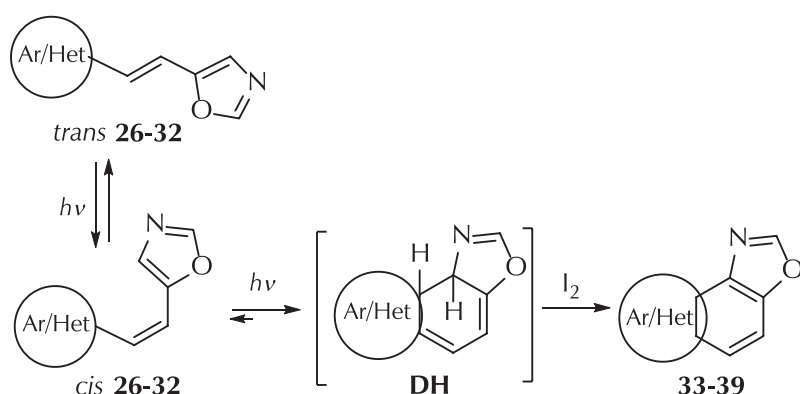
Oksazolske derive koji u položaju 2, 4 ili 5 imaju stirlne ili analogne heterocikličke skupine u konjugaciji (slika 4\*) studira grupa Šindler i sur.<sup>32-37</sup> nastavljajući fotokemiju sličnih furanskih,<sup>24,27,29</sup> tiofenskih,<sup>28,31</sup> pirolskih,<sup>25,26</sup> i sidnonskih<sup>30</sup> heksatrienskih sustava (slika 5).



Slika 4 – Ispitivani oksazolski spojevi  
Fig. 4 – Investigated oxazole compounds

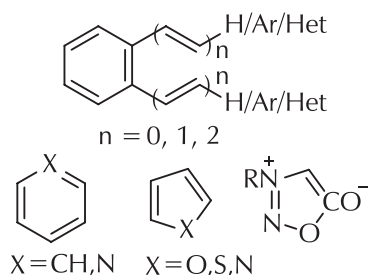
Cilj istraživanja je fotokemijska sinteza hetero-policikličkih spojeva, strukturnih osnova za biološka ispitivanja. Studirani heksatrienski sustavi podliježu reakcijama *cis-trans* izomerizacije, ciklizacije i cikloadicije.

\* Crvene točke prikazuju spojna mjesta vezivanja supstituenata na oksazolski prsten.



Het/Ar = aril, 2-furil, 2-tienil,  
3-tienil, 2-, 3-, 4-piridil

Shema 10 – Sinteza naftooksozola te furo-, tieno- i piridinobenzoksozola  
Scheme 10 – Synthesis of naphthoxazoles and furo-, thieno- and pyridinobenzoxazoles

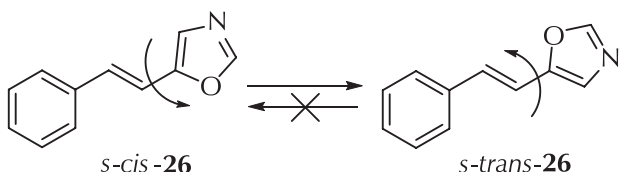


Slika 5 – Ispitivani spojevi  
Fig. 5 – Investigated compounds

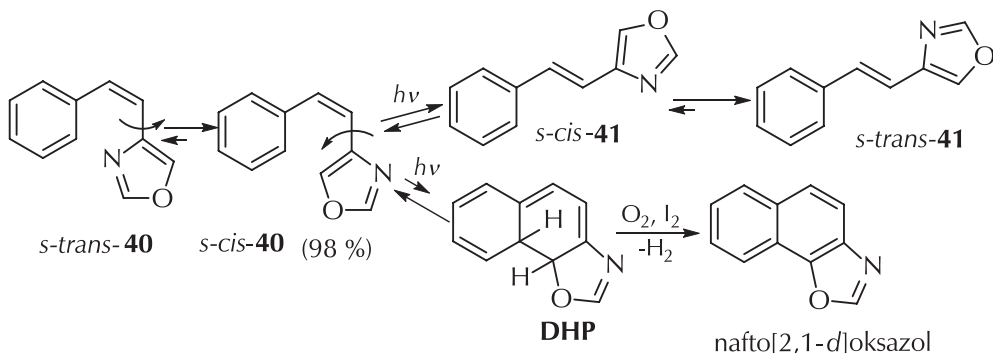
#### 3.1. Fotoinducirane izomerizacije i ciklizacije

Proučavane su fotokemijske reakcije izomerizacije i ciklizacije oksazolskih derivata<sup>32-35</sup> koji u položaju 5 na prstenu imaju stirlni (**26**) ili heteroaril-etenilni supstituent (**27-32**). Tako su po prvi put sintetizirani fuzionirani oksazolski derivati (**33-39**) primjenjujući energiju svjetla (shema 10).

Rađena su i foto-fizikalna mjerena, gdje su praćeni procesi koji se događaju u sustavu u kratkim vremenima nakon pobude.<sup>33-35</sup> Stirlni derivati oksazola u položaju 5 pokazali su u blagim uvjetima i kratkim vremenima pobude ponašanje analogno stilbenu. Teorijski računi ravnoteže između konformerata *trans*-izomera podudaraju se s eksperimentalnim mjerenjima i pokazale su da je ravnoteža znatno pomaknuta prema *s-trans*-**26** rotameru (shema 11).<sup>33</sup>

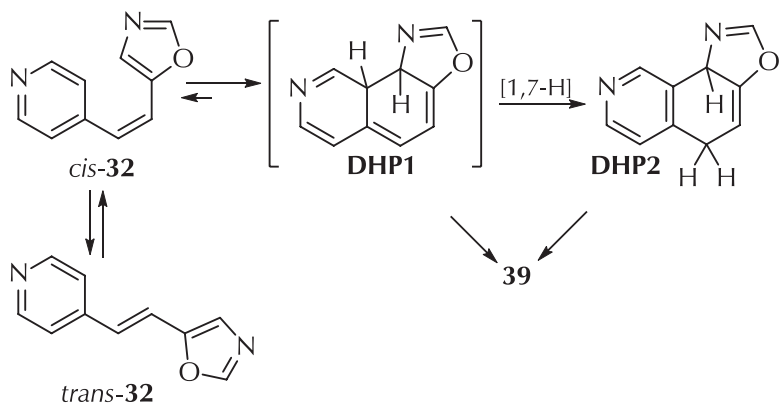


Shema 11 – Konformacijski izomeri *trans*-5-stirloksazola  
Scheme 11 – Conformational isomers of *trans*-5-styryloxazole



Shema 12 – Ponašanje 4-stiriloksazola u pobuđenom stanju

Scheme 12 – Excited state behaviour of 4-styryloxazole



Shema 13 – Ponašanje 5-(2-(piridin-4-il)vinil)oksazola u pobuđenom stanju

Scheme 13 – Excited state behaviour of 5-(2-(pyridin-4-yl)vinyl)oxazole derivative

Kod *cis*-izomera situacija je drugačija jer obje kompetitivne reakcije (reakcija izomerizacije i reakcija ciklizacije) karakterizira niži prinos nego kod stilbena. Taj učinak pripisuje se smanjenoj gustoći elektronskog oblaka koju uzrokuje prisutnost N atoma. U nastavku su autori studirali i ponašanje 2- i 4-stiril-oksazolskih derivata.<sup>34</sup> Različiti položaj stirilne skupine s obzirom na heteroatome (kisik i dušik) u oksazolu utječe na raspodjelu naboja u molekuli što dalje ima utjecaj na kompetitivne procese relaksacije. U shemi 12 i nastavku prikazani su procesi nakon pobude 4-stiriloksazola. Utvrđeno je da jedan konformer prevladava i kod *cis*- i *trans*-izomera (shema 12).

U slučaju *trans*-2-stiriloksazola oba konformera su prisutna u podjednakim količinama, a kod *cis*-izomera većina je u obliku *s-cis*-rotamera. Zaključak je da u kratkim vremenima pobude prvo dolazi do rotacije oko jednostrukе veze, gdje se jasno vidi da su određeni rotameri preferirani te nakon nekog vremena dolazi do izomerizacije, gdje je fotostacionarno stanje pomaknuto prema *cis*-izomeru. Dužim osvjetljavanjem uz prisutnost kisika i joda uz izomerizacije dolazi i do ciklizacije kod 4- i 5-stiriloksazola (shema 10), dok 2-stiriloksazol ne ciklizira.<sup>34</sup>

Također su studirani 5-stirilioksazolski derivati u kojima je benzenska jezgra zamijenjena piridinskom u položaju 2 (**30**) odnosno 3 (**31**) ili 4 (**32**).<sup>35</sup> Očekivalo se da će doći do pojave solvatokromizma i u emisijskim i apsorpcijskim spektrima, ali do toga nije došlo. Izostanak se objašnjava nepostojanjem međusustavnog prijelaza (ICT) zbog premale razlike između donorskog i akceptorskog karaktera dviju heteroaromatskih skupina. Osvjetljavanjem 4-piridinskog derivata (**32**) u uvjetima bez kisika "ulovljen" je i međuprodot **DHP2** (shema 13).

Prinosi u reakcijama ciklizacije svih piridiletenil-oksazolskih derivata bili su niži od onih kod 5-stiriloksazolskih derivata.

### 3.2. Fotoinducirane cikloadicije 4- i 5-vinilstirilnih derivata oksazola

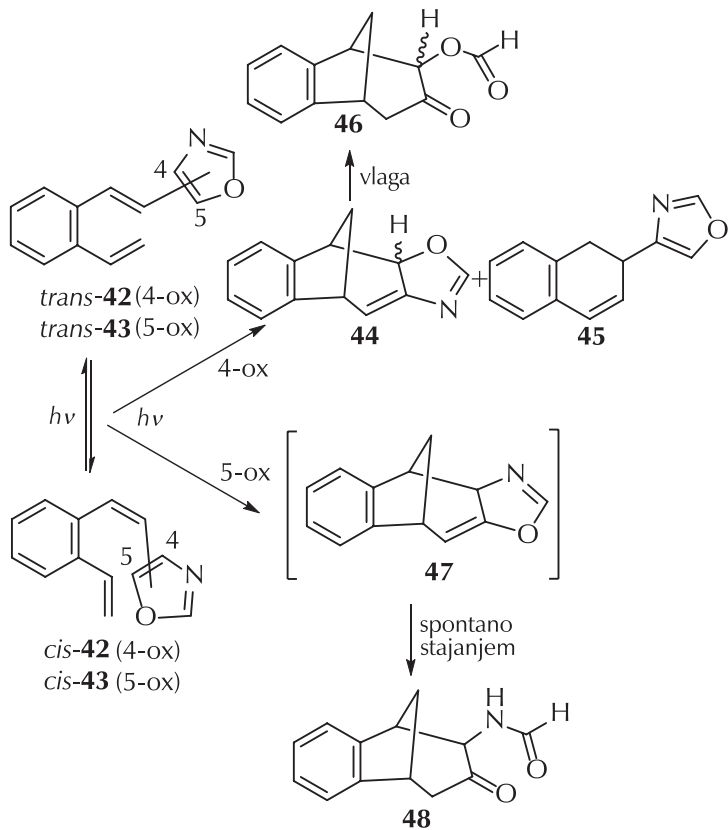
Sintetizirani derivati 4-(2-vinilstiril)oksazol (**42**) i 5-(2-vinilstiril)oksazol (**43**) u pobuđenom stanju daju primarno fuzi-

onirane oksazolinske produkte **44** odnosno **47** te u trago-vima oksazolski produkt **45**.<sup>36</sup> Oksazolinski derivati **44** i **47** su relativno nestabilni i spontano prelaze u esterski derivat **46** odnosno formamidni derivat **48** (shema 14).

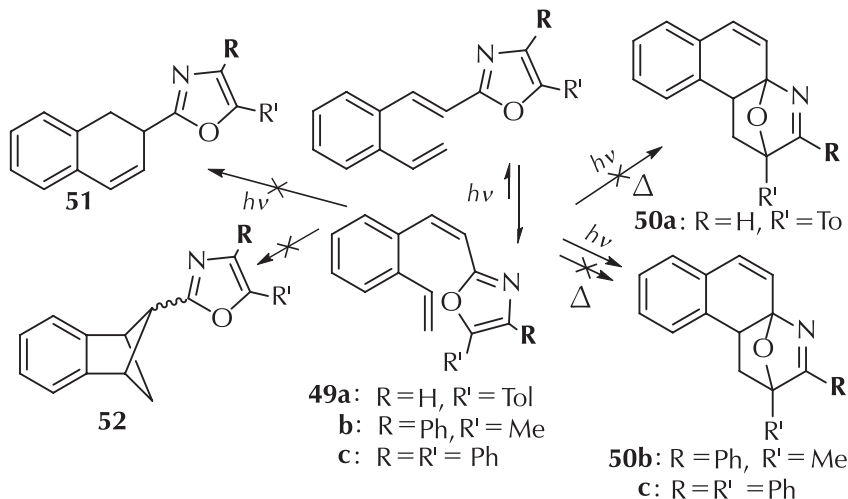
Na taj način dobiveni modificirani biciklički produkti pogodni su kao međuprodukti u dalnjim totalnim sintezama potencijalno biološki aktivnih supstancija.

### 3.3. Fotoinducirane cikloadicije 2-vinilstirilnih derivata oksazola

Ponašanje u pobuđenom stanju 2-(2-vinilfenil)etenil-oksazola razlikuje se od prethodno istraživanih hetero-stilben-skih sustava kao i od ponašanja prethodno opisanih 4- i 5-derivata oksazola. Fotokemijskom pobudom ti derivati daju kao većinske proizvode okso-premoštene kinoline (**50b,c**) formalnom intramolekularnom [4+2] photocikloadicijom odnosno 10p, 6p elektrociklizacijom (shema 15).<sup>37</sup>



Shema 14 – Osvjetljavanje spojeva **42** i **43**  
Scheme 14 – Irradiation of compounds **42** and **43**



Shema 15 – Fotokemijska reaktivnost derivata **49a-c**  
Scheme 15 – Photochemical reactivity of compounds **49a-c**

TD-DFT računi<sup>37</sup> pokazali su dobro slaganje s eksperimentalnim rezultatima te su potvrdili da najveći utjecaj na samu reakciju u pobuđenom stanju ima fenilni supstituent u položaju 4 na oksazolskom prstenu. Takvi okso-premošteni derivati lako se mogu prevesti u kinolinske derive, te je time dobiven novi put ka benzo[f]kinolinima.

## Popis kratica

### List of abbreviations

ICT	– intramolekulski prijenos naboja – intramolecular charge transfer
IS	– 1-acetilsatin – 1-acetyl satin
ISC	– geometrija međusustavnog križanja – intersystem crossing
PBR	– Paternò-Büchi reakcija – Paternò-Büchi reaction
PQ	– fenantrenkinon – phenanthrenequinone

## Literatura

### References

- R. A. Firestone, E. E. Harris, W. Reuter, Synthesis of pyridoazine by Diels-Alder reactions with 4-methyl-5-alkoxy oxazoles, *Tetrahedron* **23** (1967) 943–955, doi: [https://doi.org/10.1016/0040-4020\(67\)85043-9](https://doi.org/10.1016/0040-4020(67)85043-9).
- M. Weuthen, H.-D. Scharf, J. Rumsink, 3-Acetyl-2,3-dihydro-2,2-dimethyloxazol; Darstellung, Eigenschaften und Einsatz als olefinischer Partner in der Paternò-Büchi-Reaktion, *Chem. Ber.* **120** (1987) 1023–1026, doi: <https://doi.org/10.1002/cber.19871200623>.
- M. Weuthen, H.-D. Scharf, J. Rumsink, R. Vaßen, Chirale Induktion bei photochemischen Reaktionen, VIII. Diastereoselektive Photo-Aldol-Reaktion von chiralen  $\alpha$ -Ketoestern mit 2,3-Dihydrooxazolen, *Chem. Ber.* **121** (1988) 971–976, doi: <https://doi.org/10.1002/cber.19881210523>.
- S. Sekretár, J. Kopecký, A. Martvoň, Photochemical reactions of substituted 2(3*H*)-oxazolones with carbonyl compounds, *Collect. Czech. Chem. Commun.* **47** (1982) 1848–1855, doi: <https://doi.org/10.1135/cccc19821848>.
- A. G. Griesbeck, M. Giege, J. Lex, Oxazole–Carbonyl photocycloadditions: Selectivity pattern and synthetic route to erythro  $\alpha$ -amino,  $\beta$ -hydroxy ketones, *Chem. Commun.* **7** (2000) 589–590, doi: <https://doi.org/10.1039/B000578I>.
- A. G. Griesbeck, S. Buhr, M. Fiege, H. Schmickler, J. Lex, Stereoselectivity of Triplet Photocycloadditions: Diene–Carbonyl Reactions and Solvent Effects, *J. Org. Chem.* **63** (1998) 3847–3854, doi: <https://doi.org/10.1021/jo971767I>.
- A. G. Griesbeck, S. Bondock, Photo aldol reactions with 5-methoxyoxazoles: Highly regio- and diastereoselective synthesis of  $\alpha$ -amino- $\beta$ -hydroxy carboxylic acid derivatives, *Can. J. Chem.* **81** (2003) 555–559, doi: <https://doi.org/10.1139/v03-029>.
- A. G. Griesbeck, S. Bondock, Photocycloaddition of 5-Methoxyoxazoles to Aldehydes and  $\alpha$ -Keto Esters: A Comprehensive View on Stereoselectivity, Triplet Biradical Conformations, and Synthetic Applications of Paternò–Büchi Adducts, *Aust. J. Chem.* **61** (2008) 573–580, doi: <https://doi.org/10.1071/CH08168>.
- S. Bondock, A. G. Griesbeck, Diastereoselective Photochemical Synthesis of  $\alpha$ -Amino- $\beta$ -hydroxyketones by Photocycloaddition of Carbonyl Compounds to 2,5-Dimethyl-4-isobutyloxazole, *Monatsh. Chem.* **137** (2006) 765–777, doi: <https://doi.org/10.1007/s00706-006-0474-4>.
- A. G. Griesbeck, M. Franke, J. Neudörfl, H. Kotaka, Photocycloaddition of aromatic and aliphatic aldehydes to isoxazoles: Cycloaddition reactivity and stability studies, *Beilstein J. Org. Chem.* **7** (2011) 127–134, doi: <https://doi.org/10.3762/bjoc.7.18>.
- G. Kaupp, [4 + 4]-Cycloaddition Reactions in the Total Synthesis of Naturally Occurring Eight-Membered Ring Compounds, *Angew. Chem., Int. Ed.* **31** (1992) 422–424, doi: <https://doi.org/10.1002/anie.199204221>.
- S. Kohmoto, T. Kobayashi, J. Minami, X. Ying, K. Yamaguchi, T. Karatsu, A. Kitamura, K. Kishikawa, M. Yamamoto, Trapping of 1,8-Biradical Intermediates by Molecular Oxygen in Photocycloaddition of Naphthyl-N-(naphthylcarbonyl)carboxamides; Formation of Novel 1,8-Epidioxides and Evidence of Stepwise Aromatic Cycloaddition, *J. Org. Chem.* **66** (2001) 66–73, doi: <https://doi.org/10.1021/jo0010227>.
- H. Bouas-Laurent, A. Castellan, J.-P. Desvergne, R. Lapouyade, Photodimerization of anthracenes in fluid solutions: (part 2) mechanistic aspects of the photocycloaddition and of the photochemical and thermal cleavage, *Chem. Soc. Rev.* **30** (2001) 248–263, doi: <https://doi.org/10.1039/B006013P>.
- S. McN. Sieburth, u M. Harmata (ur.), *Advances in Cycloaddition*, Vol. 5, Greenwich CT, 1998., 85–118.
- F. G. West, u M. Lautens (ur.), *Advances in Cycloaddition*, Vol. 4, Greenwich CT, 1997., 1–40.
- A. Albini, E. Fasani, F. Giavarini, Photochemical reaction between naphthalene-carbonitriles and dienes, *J. Org. Chem.* **53** (1988) 5601–5607, doi: <https://doi.org/10.1021/jo00259a002>.
- G. McSkimming, J. H. R. Tucker, H. Bouas-Laurent, J.-P. Desvergne, An Anthracene-Based Photochromic System That Responds to Two Chemical Inputs, *Angew. Chem., Int. Ed.* **39** (2000) 2167–2169, doi: [https://doi.org/10.1002/1521-3773\(20000616\)39:12<2167::AID-ANIE2167>3.0.CO;2-9](https://doi.org/10.1002/1521-3773(20000616)39:12<2167::AID-ANIE2167>3.0.CO;2-9).
- F. Müller, J. Mattay, Photocycloadditions: control by energy and electron transfer, *Chem. Rev.* **93** (1993) 99–117, doi: <https://doi.org/10.1021/cr00017a006>.
- D. I. Schuster, G. Lem, N. A. Kaprinidis, New insights into an old mechanism: [2 + 2] photocycloaddition of enones to alkenes, *Chem. Rev.* **93** (1993) 3–22, doi: <https://doi.org/10.1021/cr00017a001>.
- G. Jones II., Synthetic application of the Paternò–Büchi reaction u A. Padwa (ur.), *Organic Photochemistry*, Vol. 5, Marcel Dekker, New York, 1981., str. 1–122.
- Y. Zhang, L. Wang, M. Zhang, H.-K. Fun, J.-H. Xu, Photoinduced [4 + 4] Cycloadditions of o-Quinones with Oxazoles, *Org. Lett.* **26** (6) (2004) 4893–4895, doi: <https://doi.org/10.1021/o1048028t>.
- L. Wang, Y.-C. Huang, Y. Liu, H.-K. Fun, Y. Zhang, J.-H. Xu, Photoinduced [4 + 4], [4 + 2], and [2 + 2] Cycloadditions of o-Quinones with Oxazoles: Chemo-, Regio-, and Diastereoselectivity, *J. Org. Chem.* **75** (2010) 7757–7768, doi: <https://doi.org/10.1021/jo101764f>.
- C.-M. Huang, H. Jing, R.-Z. Wang, C. K. Quah, H.-K. Fun, Y. Zhang, Photocycloadditions of substituted oxazoles with isoquinoline-1,3,4-trione chemo-, regio-, diastereoselectivities and transformation of the photocycloadducts, *Org. Biomol. Chem.* **11** (2013) 5023–5033, doi: <https://doi.org/10.1039/C3OB40645H>.

24. M. Šindler-Kulyk, L. Špoljarić, Ž. Marinić, Photochemistry of beta-(2-Furyl)Substituted o-Divinylbenzenes, *Heterocycles* **29** (1989) 679–682, doi: <https://doi.org/10.3987/COM-89-4629>.
25. M. Šindler-Kulyk, N. Basarić, Photochemical Approach to Hetero Polycyclic Compounds, *Kem. Ind.* **51** (2002) 169–175.
26. N. Basarić, Ž. Marinić, M. Šindler-Kulyk, Photochemical Formation of Novel Pyrrolo[3, 2-*b*]-6, 7-benzobicyclo[3.2.1]octa-2, 6-diene, *J. Org. Chem.* **68** (2003) 7524–7527, doi: <https://doi.org/10.1021/jo0346454>.
27. I. Škorić, M. Šindler-Kulyk, Svetlom do heteropolicikličkih spojeva, *Kem. Ind.* **56** (2007) 135–143.
28. D. Vidaković, I. Škorić, M. Horvat, Ž. Marinić, M. Šindler-Kulyk, Photobehaviour of 2- and 3-heteroaryl substituted o-divinylbenzenes; formation of fused 2,3- and 3,2-heteroareno-benzobicyclo[3.2.1]octadienes and 3-heteroaryl benzobicyclo[2.1.1]hexenes, *Tetrahedron* **64** (2008) 3928–3934, doi: <https://doi.org/10.1016/j.tet.2008.02.062>.
29. I. Škorić, M. Šmehil, Ž. Marinić, K. Molčanov, B. Kojić-Prodić, M. Šindler-Kulyk, Photochemistry of  $\omega$ -(*o*-vinyl-phenyl)- $\omega'$ -(phenyl/2-furyl) butadienes: New approach to 4-substituted benzobicyclo[3.2.1]octadienes, *J. Photochem. Photobiol. A: Chemistry* **207** (2009) 190–196, doi: <https://doi.org/10.1016/j.jphotochem.2009.07.008>.
30. K. Butković, D. Vuk, Ž. Marinić, J. Penić, M. Šindler-Kulyk, Synthesis and photochemistry of 3-(*o*-stilbeyl)-4-H/Me/Ph-syndnones; intramolecular cyclization to 1,2-benzodiazepines and/or quinolines, *Tetrahedron* **66** (2010) 9356–9362, doi: <https://doi.org/10.1016/j.tet.2010.10.013>.
31. D. Vuk, Ž. Marinić, K. Molčanov, B. Kojić-Prodić, M. Šindler-Kulyk, Photochemical transformation of  $\beta,\beta'$ -dithienyl substituted o-divinylbenzenes leading to 1,2-dihydronaphthalenes or fused pentacyclic compounds: first evidence of electrocyclization process via 2,3-dihydronaphthalene intermediates, *Tetrahedron* **68** (2012) 6873–6880, doi: <https://doi.org/10.1016/j.tet.2012.06.019>.
32. I. Šagud, F. Faraguna, Ž. Marinić, M. Šindler-Kulyk, Photochemical approach to naphthoxazoles and fused hetero-benzoxazoles from 5-(phenyl/heteroarylethenyl)oxazoles, *J. Org. Chem.* **76** (2011) 2904–2908, doi: <https://doi.org/10.1021/jo1025942>.
33. I. Šagud, M. Šindler-Kulyk, A. Spalletti, U. Mazzucato, Photoisomerization and Photocyclization of 5-Styryloxazole, *Croat. Chem. Acta* **87** (2014) 327–333, doi: <https://doi.org/10.5562/cca2443>.
34. V. Botti, F. Elisei, U. Mazzucato, I. Šagud, M. Šindler-Kulyk, A. Spalletti, Effect of the positional isomerism on the photoreactivity of styryloxazole, *J. Photochem. Photobiol. A: Chemistry* **316** (2016) 95–103, doi: <https://doi.org/10.1016/j.jphotochem.2015.10.022>.
35. V. Botti, F. Elisei, F. Faraguna, Ž. Marinić, U. Mazzucato, I. Šagud, M. Šindler-Kulyk, A. Spalletti, Deactivating effect of the pyridine  $n, \pi^*$  states on the photoreactivity of 5-[2-(pyrid-*n*-yl)ethenyl]oxazole ( $n = 2, 3$  and 4), *J. Photochem. Photobiol. A: Chemistry* **329** (2016) 262–272, doi: <https://doi.org/10.1016/j.jphotochem.2016.07.009>.
36. I. Šagud, S. Božić, Ž. Marinić, M. Šindler-Kulyk, Photochemical approach to functionalized benzobicyclo[3.2.1]octene structures via fused oxazoline derivatives from 4- and 5-(*o*-vinylstyryl)oxazoles, *Beilstein J. Org. Chem.* **10** (2014) 2222–2229, doi: <https://doi.org/10.3762/bjoc.10.230>.
37. I. Šagud, I. Antol, Ž. Marinić, M. Šindler-Kulyk, Photoinduced Intramolecular formal [4+2] Cycloaddition of Aryl-Substituted o-Vinylstyryl-2-oxazoles To Form Benzo[*f*]quinoline Derivatives: Experimental Results and Theoretical Interpretation, *J. Org. Chem.* **80** (2015) 9535–9541, doi: <https://doi.org/10.1021/acs.joc.5b01504>.

## SUMMARY

### Excited State Reactions of Oxazoles and Their Derivatives. Part II: Photoinduced Inter- and Intramolecular Cycloadditions

Ivana Šagud\* and Marija Šindler-Kulyk

The oxazole ring in a complex system has a substantial impact on the reactions in ground and excited state. By cyclisation, cycloaddition and isomerization reactions in the excited state new complex polycyclic structures are formed that are interesting for further investigation. Of particular interest are 2,5-, 2,4-disubstituted and 2,4,5-trisubstituted oxazole structures in which one of the substituents is a conjugated vinyl-styryl segment. In this paper a detailed literature review is given into photoinduced inter- and intramolecular reactions of oxazole derivatives.

#### Keywords

Oxazole, photochemistry, heterocycles, intermolecular cycloaddition, intramolecular cycloaddition, electrocyclisation

Faculty of Chemical Engineering and Technology  
University of Zagreb, Marulićev trg 20  
10 000 Zagreb, Croatia

Review  
Received March 14, 2017  
Accepted May 8, 2017